

## شارش شار فعال شده به طور حرارتی در ابررساناهای $NdO_{0.82}F_{0.18}FeAs$

قربانی، شعبان رضا<sup>۱</sup>; ونگ، شاولین<sup>۲</sup>

<sup>۱</sup>دانشکده فیزیک، دانشگاه تربیت معلم سبزوار، سبزوار

<sup>۲</sup>ایнстیتو ابررسانایی و مواد الکترونیکی، دانشگاه ولنگونگ، ولنگونگ، استرالیا

### چکیده

شارش شار فعال شده به طور حرارتی ابررسانای جدیدا کشف شده  $NdO_{0.82}F_{0.18}FeAs$  ساخته شده تحت فشار با دمای بحران ابررسانایی  $51\text{ K}$  مطالعه شده است. تحلیل پهن شدگی ناحیه گذار از حالت عادی به حالت ابررسانایی در مقاومت الکتریکی روشن نمود که شارش شار فعال شده به طور حرارتی پاسخ گوی سهم مقاومت الکتریکی در ناحیه مجاورت دمای بحرانی ابررسانایی  $T_c$  است. انرژی فعال سازی  $U_0/k_B$  در میدانهای مغناطیسی پایین  $K$  ۲۰۰۰ است و واپسگی آن به میدان در محدوده بزرگی از میدان به صورت  $B^{-1/3}$  است. نتایج کارمان نشان داد که مخکویش ذاتی گرد شاره ها در  $NdO_{0.82}F_{0.18}FeAs$  قوی تراز  $Bi-2212$  است.

## Thermally activated flux flow in $NdO_{0.82}F_{0.18}FeAs$ superconductor

Ghorbani, S R<sup>1</sup>; Wang, X L<sup>2</sup>

<sup>1</sup>Department of Physics, Tarbiat Moallem University of Sabzevar, P.O. Box 397, Sabzevar, Iran,

<sup>2</sup> Institute for Superconducting and Electronic Materials, University of Wollongong, Wollongong, New South Wales 2522, Australia

### Abstract

The thermally activated flux flow of newly discovered  $NdO_{0.82}F_{0.18}FeAs$  superconductor made under high pressure, with a critical temperature,  $T_c$ , of  $51\text{ K}$ , has been studied. Analysis of resistive transition broadening revealed that thermally activated flux flow is found to be responsible for the resistivity contribution in the vicinity of  $T_c$ . The activation energy  $U_0/k_B$  is  $2000\text{ K}$  in low fields and scales as  $B^{-1/3}$  over a wide field range. Our results indicate that the  $NdO_{0.82}F_{0.18}FeAs$  has stronger intrinsic pinning than  $Bi-2212$ .

PACS No. 74;74-25

همانند کوپراتها، ترکیب مادر این نوع ابررساناهای در چگالی آلاش

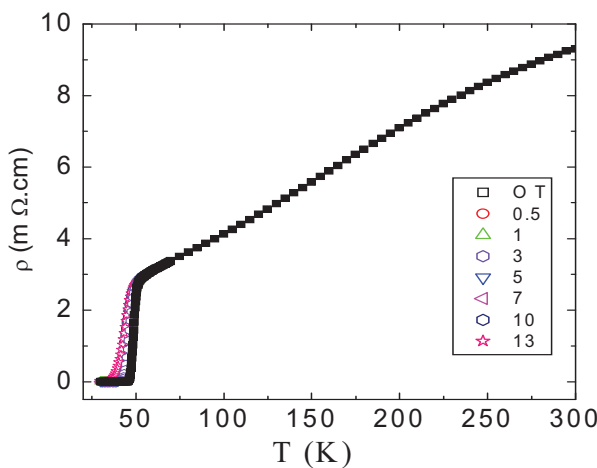
### مقدمه

پایین پاد فرومغناطیس بوده و با افزایش چگالی آلاش حالت پاد فرومغناطیسی ماده فوق از بین رفته و ترکیب ابررسانا می شود. از طرف دیگر با جانشینی سایر عناصر خاکی نادر به جای La دمای ابررسانایی به بیش از  $50\text{ K}$  رسید [۹-۲]. بنابر این ترکیبات ابررساناهای جدید دارای فرمول عمومی  $REO_{1-x}F_xFeAs$  (RE-1111) است که در آن RE عناصر خاکی نادر می باشد.

گروه جدیدی از ابررساناهای دمای بالا در ژانویه ۲۰۰۸ با دمای بحران ابررسانایی  $T_c = 26\text{ K}$  در ترکیبات لایه ای آرسنیک آهن کشف شد [۱]. مشابه آنچه که در حدود ۲۲ سال پیش برای ابررساناهای دمای بالا کوپرات پیدا شده بود ترکیب مادر گروه جدید، LaOFeAs، ابررسانا نیست. اما با جانشینی فلوئر به جای اکسیژن این ترکیب ابررسانا می شود. در این ابررساناهای صفحات FeAs که توسط لایه های LaO از یکدیگر جدا می باشند نقش صفحات  $CuO_2$  را در ابررساناهای کوپرات ایفا می کنند (شکل ۱).

## نتایج و تحلیل داده ها

نتایج اندازه گیری مقاومت الکتریکی به صورت تابعی از دما در حضور میدانهای مغناطیسی  $T = 13$  T برای نمونه  $\text{NdO}_{0.82}\text{FeAs}$  در شکل ۲ نشان داده شده است. دمای همانطور که در شکل دیده می شود در غیاب میدان مغناطیسی دمای بحرانی ابررسانایی  $T_c$  در حدود ۵۱ K است و با افزایش میدان مغناطیسی  $T_c$  کاهش می یابد.



شکل ۲- واستگی مقاومت الکتریکی به دما در حضور میدانهای مغناطیسی مختلف برای ترکیب ابررسانای  $\text{NdO}_{0.82}\text{FeAs}$

همانطور یکه از روی شکل ۲ دیده می شود اثر شارش شار مغناطیسی فعال شده به طور حرارتی به خوبی از روی پهن شدگی در مقاومت الکتریکی در ناحیه گذار ابررسانایی نمایان است. در حضور میدان مغناطیسی، پهن شدگی مقاومت الکتریکی در ناحیه گذار برای ابررساناهای دمای بالا بر اساس اتفاق انرژی ناشی از حرکت گرد شاره ها توصیف می گردد [۱۲]. مقاومت الکتریکی در ناحیه ی پهن ناشی از خروش گردشاره ها است. بر اساس مدل خروش شار فعال شده به طور حرارتی، واستگی مقاومت الکتریکی به دما در حضور میدان مغناطیسی به صورت زیر است:

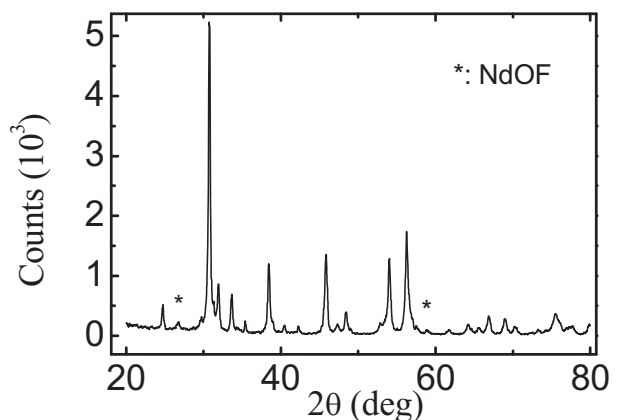
$$\rho(T, B) = \rho_0 \exp\left(\frac{U(T, B)}{k_B T}\right) \quad (1)$$

که در آن  $U(T, B)$  انرژی فعال سازی شار یا انرژی میخکوش نامیده می شود [۱۳]. این مدل فقط در ناحیه مجاور  $T_c$  معتبر است در غیر این صورت بایستی شرط  $U > k_B T$  نیز برقرار باشد تا خروش شار سازوکار غالب در ایجاد مقاومت الکتریک باشد در

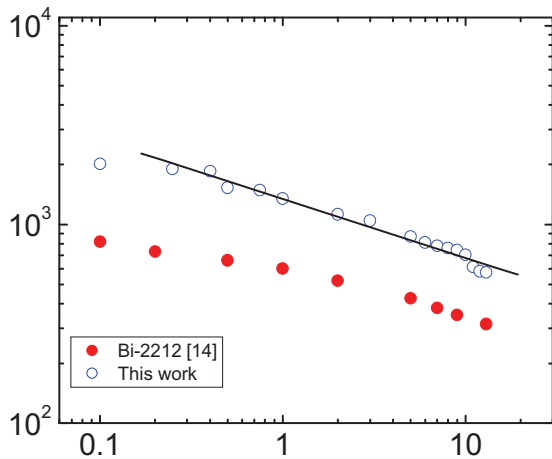
ابررساناهای RE-1111 ساخته شده تحت فشار های بالا دارای ویژگیهای زیر است: ۱) چگالی جریان بحرانی هنوز گزارش شده برای این نوع ابررساناهای پایین است [۱۰]. ۲) افت هنوز ناشی از اعمال میدان مغناطیسی در دهای پایین ضعیف است [۱۰]. ۳) این ابررساناهای خواص پارامغناطیس از خود نشان می دهند [۱۱]. ۴) بعلت تحت فشار ساخته شدن این ابررساناهای سهم اتصالات ضعیف ناشی از فاز های ناخالصی بسیار کم است [۱۰ و ۱۱]. این ویژگیها نشان می دهند که مطالعه و درک سازوکار میخکوش شار مغناطیسی بسیار مهم است. در این مقاله شارش شار فعال شده به طور حرارتی در ابررساناهای جدیدا کشف شده  $\text{RE}_{1-x}\text{FeAs}$  گزارش می شود.

## آزمایش

نمونه بس بلور  $\text{NdO}_{0.82}\text{FeAs}$  تحت فشار بالا ساخته شد. برای ساخت ابتدا مواد اولیه  $\text{Fe}_2\text{O}_3$  ،  $\text{FeAs}$  ،  $\text{NdAs}$  با خلوص بالا به خوبی مخلوط و سپس به شکل قرص در  $\text{FeF}_2$  داخل یک بوته از جنس نیترید بورن محبوس و تحت فشار بالای ۶ GPa به مدت ۲ ساعت در دمای  $1250^\circ\text{C}$  پخته شد [۳]. جهت شناسایی فاز های ناخالصی پراش اشعه X انجام گرفت. الگوی پراش اشعه X (شکل ۱) نشان داد که ساختار تقریبا تک فاز و دارای ساختار راست گوش با تقارن  $P4/nmm$  است. مقاومت الکتریک به روش چهار میله روی نمونه میله ای شکل و با استفاده از دستگاه اندازه گیری خواص فیزیکی (PPMS) در محدوده میدانهای مغناطیسی  $T = 13$  T در دانشگاه ولونگونگ کشور استرالیا انجام گردید.

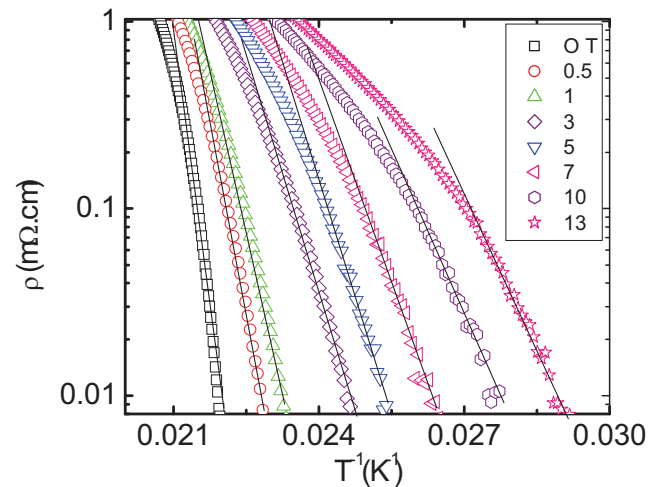


شکل ۱: الگوی پراش اشعه X برای ابررسانای  $\text{NdO}_{0.82}\text{FeAs}$



شکل ۴: وابستگی انرژی فعال سازی  $U_0$  به میدان مغناطیسی برای ابررسانای  $\text{NdO}_{0.82}\text{F}_{0.18}\text{FeAs}$ . بخش خطی داده ها قانون توانی را پیشنهاد می کند. داده های Bi-2212 از مرجع [14] استخراج شده اند.

غیر این صورت شارش شار پدیده ای غالب خواهد بود. در گذارهای پهن انرژی فعال سازی  $(\text{U}_0(\text{B}))$  معمولاً مستقل از دما است و می توان آن را از روی شب بخش خطی منحنی  $\ln \rho$  بر حسب  $1/T$  (منحنی آرینیوسی مقاومت الکتریکی) به دست آورد. شکل ۳ وابستگی  $\ln \rho$  بر حسب  $1/T$  رسم شده است. از روی شکل رفتار فعال شدن شار به طور حرارتی به وضوی مشاهده می شود.



شکل ۳: رسم آرینیوسی مقاومت الکتریکی برای ابررسانای  $\text{NdO}_{0.82}\text{F}_{0.18}\text{FeAs}$  برای فعال سازی را می توان از روی شب قسمت خطی تعیین کرد.

برای بلورهای ابررسانای Bi-2212 یک رفتار توانی به صورت  $\text{U}_0(\text{B}) \approx \text{B}^{-n}$  برای وابستگی انرژی فعال سازی گزارش شده است. که در آن برای میدانهای مغناطیسی موازی با محور  $\text{C}$  کمتر از ۵ تسل (B < 5 T) و برای میدانهای بزرگتر  $n=1/2$  (B > 5 T) است.

شکل ۴ نتایج حاصل از روی بهترین برازش داده های تجربی به معادله ۱ برای وابستگی انرژی فعال سازی به میدان مغناطیسی را نشان می دهد. برای ابررسانای  $\text{NdO}_{0.82}\text{F}_{0.18}\text{FeAs}$  برابر  $\text{B}=13 \text{ T}$  مقادیر  $\text{U}_0$  برای میدانهای  $\text{B} < 0.4 \text{ T}$  افت بسیار ناچیزی را نشان می دهد در این ناحیه  $n=0.07$  است. در حالی که برای میدانهای

$\text{B} > 0.4 \text{ T}$  بطور آهسته کاهش می یابد که برای این میدانها  $n=1/3$  است. جهت مقایسه انرژی فعال سازی Bi-2212 نیز به شکل ۴ افزوده شده است. همانطوری که از روی شکل ۴ مشاهده می شود مقدار  $\text{U}_0$  ابررسانای  $\text{NdO}_{0.82}\text{F}_{0.18}\text{FeAs}$  در هر دو

نواحی میدانهای مغناطیسی پایین و بالا  $3-2$  برابر بزرگتر از مقدار آن برای Bi-2212 است. این نتایج نشان می دهد که

Bi-2212  $\text{NdO}_{0.82}\text{F}_{0.18}\text{FeAs}$  مخکوبش ذاتی قوی تری از دارد.

## نتیجه گیری

انرژی فعال سازی به دست آمده در ابررساناهای جدیداً کشف شده  $\text{NdO}_{0.82}\text{F}_{0.18}\text{FeAs}$  بزرگتر از ابررسانای Bi-2212 می باشد. بنابراین مخکوبش ذاتی گردشاره ها در از  $\text{NdO}_{0.82}\text{F}_{0.18}\text{FeAs}$  قوی تر از Bi-2212 است.

## سپاسگزاری

از همکاری آقای پروفسور شی جهت همکاری و اجازه استفاده از تجهیزات دانشگاه ولونگونگ استرالیا صمیمانه تشکر می کنیم.

## مرجع ها

- [1] Y. Kamihara, T. Watanabe, M. Hirano, and H. Hosono, *J. Am. Chem. Soc.* **130**, 3296 (2008).
- [2] Z. Ren, W. Yue-Qin, and Z. Li-Chun, *Chinese Phys. Lett.* **25**, 2385 (2008).
- [3] X. H. Chen, T. Wu, G. Wu, R. H. Liu, H. Chen, D. F. Fang, *Nature* **453** (2008) 761.
- [4] Z.-A. Ren, J. Yang, W. Lu, W. Yi, G.-C. Che, X.-L. Dong, L.-L. Sun, Z.-X. Zhao, *Europhysics Letters* **82**, 57002 (2008).
- [5] Z.-A. Ren, W. Lu, J. Yang, W. Yi, X.-L. Shen, Z.-C. Li, G.-C. Che, X.-L. Dong, L.-L. Sun, F. Zhou, Z.-X. Zhao, *Chin. Phys. Lett.* **25** (2008) 2215.
- [6] C. Senatore, R. Flükiger, G. Wu, R. H. Liu and X. H. Chen, Cond-mat, arXiv: 0805.2389.

[7] F. Hunte, J. Jaroszynski, A. Gurevich, D. C Larbalestier, R. Jin, A.S. Sefat, M.A. McGuire, B.C. Sales, D.K. Christen, D. Mandrus,, *Nature* **453** (2008) 903

[8] J. Yang, Z.-C. Li, W. Lu, W. Yi, X.-L. She, Z.-A. Ren, G.-C. Che, X.-L. Dong, L.-L. Sun, F. Zhou, Z.-X. Zhao, *Supercond. Sci. Technol.* **21** (2008) 082001.

[9] A.S. Sefat, M.A. McGuire, B.C. Sales, R. Jin, J.Y. Howe, and D. Mandrus, *Phys. Rev. B* **77**, 2008, 174503

[10] X L Wang, S R Ghorbani, G Peleckis, S X Dou, *Adv. Mater.* **20** (2008) --- (in press).

[11] C Tarantini, A Gurevich, D C Larbalestier, Z A Ren, X L Dong, W Lu, Z X Zhao, *Phys. Rev. B* **78**, 2008, 184501.

[12] A.K. Pradhan, Z.X. Shi, M. Tokunaga, T. Tamegai, Y. Takano, K. Togano, H. Kito, and H. Ihara, *Phys. Rev. B* **64**, 212509 (2001).

[13] H S Gamchi, G J Russell, and K N R Taylor, *Phys. Rev. B* **50**, 1994, 12950.

[14] T.T.M. Palstra, et al., *Phys. Rev. B* **41**, 1990, 6621.